

روشی مبتنی بر طراحی عملکرد برای تعیین ضرایب اصلاح ظرفیت اعضاء قاب خمی فولادی تحت بار دینامیکی شدید

پویا زکیان (استادیار)

دانشکده فنی و هندسی، دانشگاه آرال

قاسم دهقانی اشکذری* (استادیار)

مرکز سازه و مصالح اهن، پژوهشکده عمران، دانشگاه صنعتی مالک اشتر

در پژوهش حاضر، به منظور ارائه یک روش طراحی ساده برای قاب خمی فولادی تحت بار حاصل از موج دینامیکی شدید، ضرایب اصلاح ظرفیت برای اعضاء قاب خمی فولادی ذکر شده (شامل تیرها و سوتونها) پیشنهاد و محاسبه شده است. با استفاده از ضرایبی که در نوشتار حاضر پیشنهاد شده است، می‌توان تحلیل‌های زمان‌گیر و هزینه‌بر غیرخطی دینامیکی را که معمولاً برای تحلیل سازه تحت بار دینامیکی شدید استفاده می‌شود، به تحلیل‌های ساده‌تر، نظری تحلیل دینامیکی تاریخچه‌ی زمانی خطی (ارتگاعی) کاهش داد. با روش اشاره شده که از مباحث طراحی لرزه‌بی براساس عملکرد الهام گرفته شده است، معیارهای پذیرش خطی معادلی پیشنهاد شده است تا جایگزین معیارهای پذیرش غیرخطی سازه تحت بار دینامیکی شدید شود. در نتیجه، این امر موجب کاهش هزینه و زمان محاسباتی، سادگی محاسبات و همچنین توسعه‌ی آینین نامه در بخش نوین مطرح شده می‌شود که همچنین بررسی عملکردی سیستم‌های قاب خمی فولادی تحت بار دینامیکی شدید خواهد بود. نتایج بدست آمده حاکی از عملکرد خوب الگوریتم پیشنهادی در طراحی قاب‌های خمی فولادی تحت بار دینامیکی شدید با استفاده از تحلیل خطی دینامیکی و ضوابط پذیرش مبتنی بر ضرایب اصلاح ظرفیت پیشنهادی است.

وازگان کلیدی: بار دینامیکی شدید، ضرایب اصلاح ظرفیت، تحلیل غیرخطی دینامیکی، تحلیل خطی دینامیکی، طراحی براساس عملکرد، مدل رفتاری جانسون - کوک.

zakiyan@araku.ac.ir
gh_dehgani@mut.ac.ir

۱. مقدمه

از سوی دیگر، در طراحی سازه‌ها در برابر دینامیکی شدید باید چند مفهوم پراهمیت، مانند: جذب انرژی، ضرایب اطمینان، حالت‌های حدی، ترکیب‌های بار، توابع مقاومت، ملاحظات عملکرد سازه‌بی و مهم‌ترین عامل یعنی نامعینی^[۱-۲] به هنگام طراحی سازه در نظر گرفته شود. در طراحی سازه‌ها در برابر بار دینامیکی شدید، معمولاً از دو رویکرد تحلیل استاتیکی معادل و تحلیل دینامیکی غیرخطی استفاده می‌شود.^[۳-۴] بدینهی است روش تحلیل دینامیکی غیرخطی با درنظر گرفتن رفتار غیرارتگاعی مصالح و آثار نزخ کرنش بسیار دقیق‌تر است. تحلیل استاتیکی چون نمی‌تواند آثار نزخ کرنش، پاسخ‌های رفت و برگشتی سازه و زمان کوتاه بارگذاری و پاسخ را در نظر بگیرد، چندان دقیق و قابل اعتماد نیست بهویله برای سازه‌های با اهمیت زیاد، این تحلیل چندان باری طراحی در برابر ضربه مؤثر نیست.

به دلیل بزرگی بارهای دینامیکی شدید و نیز پرهیز از طرح‌های سنگین و بزرگ، طراحی سازه‌ها در مقابل بارهای ضربه‌بی به گونه‌ی انجام می‌شود که به شرط

در سال‌های اخیر، پژوهشگران گام‌های مؤثری در طراحی سازه‌های مقاوم در برابر زلزله برداشته‌اند. این پیشرفت شامل تغییر نگرش دانشمندان از طراحی براساس نیرو به سمت طراحی بر مبنای رفتار (تغییرشکل)، بوده است که اصطلاحاً طراحی براساس عملکرد نامیده می‌شود. طراحی براساس عملکرد، روشی است که در آن معیار طراحی سازه به صورت دستیابی به یک رفتار و عملکرد هدف تشریح می‌شود.^[۵-۶] رفتار اجزاء سازه‌بی با توجه به نوع تشخیص داخلی آن‌ها و منحنی نیرو - تغییرشکل به ۲ دسته‌ی کنترل‌شونده توسط تغییرشکل و یا کنترل شونده توسط نیرو هستند. رفتار اجزا می‌تواند به ۳ نوع: شکل‌پذیر، نیمه شکل‌پذیر و ترد باشد. معمولاً در تحلیل‌های غیرخطی، تغییرهای مقاومت و سختی اعضاء اصلی و غیراصلی با اثرگاه‌نگی در مدل سازی وارد می‌شوند.

* نویسنده مسئول

تاریخ: دریافت ۲۹ اکتبر ۱۳۹۶، اصلاحیه ۹/۱۹، پذیرش ۵ اکتبر ۱۳۹۶.

DOI:10.24200/J30.2017.4922.2176

ضریب رفتار عضوی یا ضریب اصلاح ظرفیت برای تخمین پاسخهای پیشنهادی سازه براساس تحلیل خطی دینامیکی است، به نحوی که بتوان با تحلیل خطی، معیارهای پذیرش اعضا را در تحلیل دینامیکی غیرخطی به طور خودبه خودی رعایت و سازه را براساس تحلیل خطی طراحی کرد. این امر نیازمند تعریف ضریب اصلاح است، به شیوه‌یی که بتوان با اعمال ضریب اصلاح به پاسخ‌های خطی به دست آمده برای یک عضو سازه‌یی، تخمین مناسبی از پاسخ غیرخطی آن را بدون انجام تحلیل غیرخطی به دست آورد. با توجه به این که در بارگذاری دینامیکی شدید نیز همانند طراحی بر پایه‌ی عملکرد در مقابل زلزله رویکرد طراحی عضومحور است، می‌توان این ایده‌ی کلی طراحی براساس عملکرد در برابر زلزله در طراحی براساس عملکرد در برابر دینامیکی شدید بهره جست. زیرا یکی از اهداف اصلی طراحی بر پایه‌ی عملکرد، بررسی رفتار اعضاء مختلف سازه است و از طرفی خراصی‌های سازه‌یی ناشی از دینامیکی شدید در سازه به گونه‌ی محلی است. با توجه به معیارهای پذیرش تحلیل خطی در آین نامه‌های بهسازی لرزه‌یی سازه‌های فولادی و براساس مطالعات انجام شده‌ی پژوهش حاضر، یک مسئله‌ی معکوس براساس آین نامه‌ی طراحی دینامیکی شدید پیشنهاد شده است که بر پایه‌ی روابط طراحی سازه‌ی فولادی و دیگر روابط تحلیل دینامیکی خطی و غیرخطی است. این روند درنهایت بر آن است که ضریب اصلاح ظرفیت (m) برای قاب خمشی فولادی تحت بار دینامیکی شدید ارائه دهد تا بتوان کنترل‌های لازم را براساس تحلیل دینامیکی خطی انجام داد و از تحلیل دینامیکی غیرخطی دوری جست.

۲. الگوریتم پیشنهادی برای تعیین ضریب اصلاح ظرفیت

برای پیشنهاد ضریب اصلاح ظرفیت (با ضریب تقاضا) برای سازه‌ی زیر بار دینامیکی شدید، تمامی اعضا (در پژوهش حاضر: تیر و ستون) با نگرش کنترل‌شونده توسط تغییرشکل بررسی شدند تا بتوان برای هر عضو ضریب اصلاح ظرفیت دینامیکی شدید (از این پس m_B) را تعریف کرد، مگر اینکه نلاش عضوکنترل‌شونده توسط نیرو باشد و یا ضریب اصلاح ظرفیت به دست آمده کمتر از ۱ شود. مطابق روند متدالو طراحی سازه‌ها در برابر دینامیکی شدید، ترکیب بار شامل جمع بارهای مرده و زنده و دینامیکی شدید با ضرایب واحد است. سایر تعاریف اولیه مانند موارد موجود در آین نامه‌های طراحی لرزه‌یی بر پایه‌ی عملکرد است. ضریب میرایی در هر دو نوع تحلیل دینامیکی خطی و غیرخطی برابر ۵٪ فرض شده است. بارگذاری هر دو نوع تحلیل براساس آین نامه UFC-۳-۴۰-۰۲^[۱] یکسان است و نفاوت تحلیل در نوع مصالح است که برای تحلیل خطی به صورت ارجاعی و برای غیرخطی مدل جانسون - کوک در نظر گرفته می‌شود.

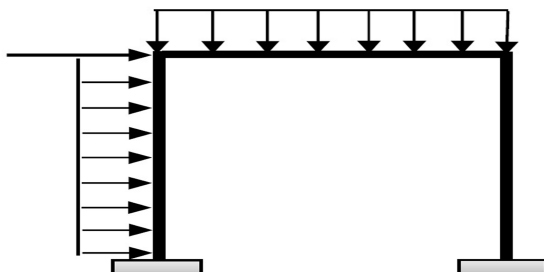
روشن است که الگوریتم‌های حل معادله‌ی تعادل دینامیکی در تحلیل خطی و غیرخطی متفاوت تعریف می‌شوند. در پژوهش حاضر، به روند پیشنهادی تعیین m_B پرداخته شده است که شامل این مراحل است:

۱. طراحی قاب خمشی فولادی موردنظر و تعیین مشخصات مقاطع آن.
۲. محاسبه‌ی بار دینامیکی شدید برای میزان خرج مشخص و فاصله‌ی معین از سازه براساس آین نامه UFC-۳-۴۰-۰۲.
۳. مدل سازی و تحلیل غیرخطی دینامیکی سازه با مشخصات ذکر شده در نرم‌افزار.
۴. کنترل دوران خمیری و جابه‌جایی براساس بخش سازه‌های قابی آین نامه UFC-۳-۴۰-۰۲. در صورت مجاز بودن دوران‌ها و جابه‌جایی‌ها، مقاطع تا

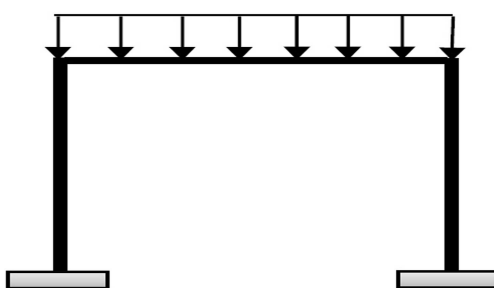
تا مین عملکرد موردنیاز (عدم فراگذشت از حدود خرابی مجاز)، بیشینه‌ی استفاده از ظرفیت تغییرشکل خمیری سازه به عمل آید و سازه وارد محدوده‌ی رفتار غیرخطی شود. از سویی دیگر، چون برخلاف بار زلزله، روش‌هایی مانند استفاده از ضریب رفتار سازه یا ضریب اصلاح ظرفیت عضو سازه‌یی تحت بار دینامیکی شدید وجود ندارد، ناگزیر تحلیل‌های لازم برای طراحی در مقابل بارهای دینامیکی شدید به روش غیرخطی است. براین اساس، به پیروی از دستورالعمل ۰-۰۲ UFC-۳-۴۰^[۲] و نیز مبحث بیست و یکم مقررات ملی ساختمان ایران «پدافند غیرعامل»، از مفهوم عملکردی به همراه تحلیل دینامیکی غیرخطی برای طراحی استفاده می‌کنند، به طوری که تغییرشکل‌های خمشی (نسبت شکل‌پذیری در مورد اعضا یک‌طرفه، مانند: تیرها، صفحات و دال‌های یک‌طرفه) و نظریه‌ی خطوط تسیل یا گسیختگی (در مورد دال‌ها و صفحات دوطرفه) و با تعیین منحنی‌های مقاومت - خیز دوطیقی معادل در نظر گرفته می‌شود. افزون بر آن، مبحث بیست و یکم، یک روش تجویزی استاتیکی معادل را نیز به عنوان روش جایگزین معرفی کرده است که در آن بار دینامیکی شدید به یک بار استاتیکی معادل تبدیل می‌شود که براساس تحلیل خمیری (غیرخطی) و نظریه‌ی خطوط تسیل یا گسیختگی (در مورد دال‌ها و صفحات دوطرفه) و با تعیین منحنی‌های مقاومت - خیز دوطیقی معادل در نظر گرفته می‌شود. این روش تحلیل دینامیکی خطي، بسیار پیچیده و زمان بر است. بنابراین در طراحی لحاظ می‌شود. روش تحلیل دینامیکی خطي به ویژه برای سامانه‌های چند درجه آزادی، نسبت به تحلیل دینامیکی غیرخطی فقط برای سامانه‌ی یک درجه آزادی اشاره شده است. در حالی که بیشتر سازه‌های تحت بار دینامیکی شدید در درجه آزادی پدافند غیرعامل (مانند قاب‌ها و تیرها و دال‌های چنددهانه)، سازه‌هایی هستند که نمی‌توان آن‌ها را به صورت یک درجه آزادی مدل کرد.

روشن است که دقت مناسبی به ویژه در دینامیکی شدید شدید و نزدیک ندارد، شامل تحلیل‌های پیچیده‌ی خمیری است. زیرا تعیین مکانیزم حاکم و بار مکانیزم برای سازه‌های چند دهانه و چند طبقه تحت ترکیب چند بار مختلف، کار دشواری است. از این رو، در مبحث بیست و یکم فقط برای تیرها و دال‌های یک دهانه، روابط محاسبه‌ی بار مکانیزم (مقاموت نهایی) ارائه شده است. در نتیجه، ارائه‌ی روشی که بتوان با استفاده از آن، روش تحلیل خطی را جایگزین روش‌های تحلیل پیچیده و زمان بر غیرخطی آین نامه‌ها و مراجع موجود برای تحلیل و طراحی سازه‌ها تحت بار دینامیکی شدید کرد، اهمیت و ارزش قابل توجهی دارد و در پژوهش حاضر به ارائه‌ی آن پرداخته شده است.

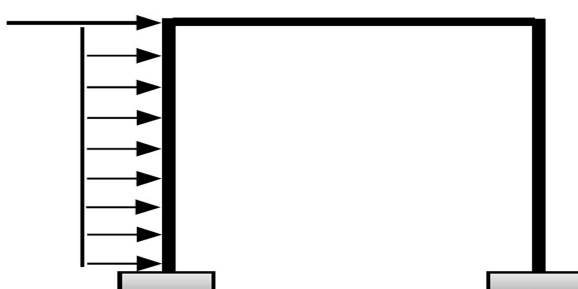
اکنون پرسش پژوهش حاضر این است که آیا می‌توان با انجام تحلیل دینامیکی خطی، نتایج معادلی را به دست آورد تا بتوان سازه را بدون تحلیل دینامیکی غیرخطی طراحی کرد. در اینجا اگر رویکرد تحلیل استاتیکی معادل زلزله در نظر گرفته شود، ضریب رفتار می‌تواند نیروی طراحی ارجاعی را به غیرارجاعی تقسیم می‌شود و بر عکس. ولی اگر مبنای طراحی براساس عملکرد در نظر گرفته شود، به جای اینکه انتظار یک ضریب رفتار از کل سازه باشد، نگرش عضوی مدنظر قرار می‌گیرد. بنابراین عضوها به دو دسته‌ی رفتاری اشاره شده تقسیم می‌شوند و برای هر کدام از اعضا، ضرایبی مانند ضریب رفتار (ضریب اصلاح ظرفیت (m)) بر حسب نوع رفتار مصالح و سطح عملکرد مورد انتظار تعریف می‌شود. هدف پژوهش حاضر، تعیین



شکل ۱. قاب پرتال تحت حالت اول بارگذاری.



شکل ۲. قاب پرتال تحت حالت دوم بارگذاری.



شکل ۳. قاب پرتال تحت حالت سوم بارگذاری.

امکان پذیر نیست و همچنین به علم غیرخطی بودن روند، رسیدن دقیق به مقدار پذیرش برای یک عضو نیز تقریباً غیرممکن است. بنابراین با درنظر گرفتن این که هر قاب می‌تواند از زیسازه‌های کوچکی همچون قاب‌های پرتال تشکیل شود که تحت شرایط مختلف بارگذاری قرار دارد، می‌توان یک قاب پرتال را با ۳ شرط بارگذاری مطابق شکل‌های ۱ الی ۳ در نظر گرفت. شایان ذکر است که شرایط بارگذاری ذکر شده، نماینده‌ی ۳ نوع مود تغییرشکلی هستند. بنابراین کنترل ضوابط پذیرش در این حالت با دقت بیشتری صورت گرفته و از طرفی با اعمال شرایط مختلف بارگذاری ارائه شده در جدول ۱ با شدت‌های مختلف، نتایج جامعی به دست آمده است.

بارهای تعریف شده مطابق آین نامه‌ی ۲ UFC-3-340-۰-۰۲ بودند و تبدیل واحد صورت گرفته و برای تمامی بارهای تعریف شده، Z بیش از عدد ۳ بوده است، بنابراین دینامیکی شدید از نوع نزدیک نبوده است. دینامیکی شدید فرض شده در پژوهش حاضر از نوع مخصوصه‌ی سطحی دور بوده است. چهار ردهی عملکردی در آین نامه‌ی ۲ UFC-3-340-۰-۰۲ تعریف شده است که نوشتار حاضر، ردهی نخست را بررسی کرده است. ردهی نخست مبتنی بر حفاظت کارکنان در مقابل آزاد شدن ناگهانی مواد خط‌نراک، شامل: مواد سمعی شیمیایی، مواد رادیویی یا مواد زیستی، کاهش فشارهای دینامیکی شدید، حرکت سازه‌تا یک سطح سازگار با رواداری

حد ممکن طوری تغییر داده شوند که به طور پایاپایی (نزدیک به معیار پذیرش) معیارهای کنترل تغییرشکل آین نامه‌ی ۲ UFC-3-340-۰-۰۲ براورده شود. چنانچه دوران‌ها و جایه‌جایی‌ها مجاز نشدن، مقاطع طوری تقویت شوند که به طور مرزی معیارهای مذکور براورده شوند. البته در هیچ حالتی، مقاطع نباید از مقاطع انتخابی از طرح لرزه‌ی اولیه، ضعیف‌تر انتخاب شوند.

۵. مدل‌سازی و تحلیل خطی دینامیکی سازه با مشخصات ذکر شده و مقاطع اصلاح شده در مرحله‌ی پیشین در نرم‌افزار.

۶. به دست آوردن مقادیر بیشینه‌ی گشتاور برای تیرها و به دست آوردن مقادیر بیشینه‌ی گشتاور و نیروی محوری (هر ترکیبی که بحرانی است) برای ستون‌ها. درنهایت، محاسبه‌ی میران تلاش (Q_{UD}) هر عضو.

۷. محاسبه‌ی میران ظرفیت (Q_{CE}) برای تمامی مقاطع مطابق روابط ASCE ۴۱-۱۳.

۸. محاسبه‌ی مقدار m_B برای هر عضو قاب با استفاده از ضابطه‌ی پذیرش تحلیل خطی و با فرض ضریب آگاهی واحد ($\alpha = 1$). در مورد قاب خمشی فولادی، به روش زیر محاسبه می‌شود. برای تیرها (رابطه‌ی ۱):

$$m_B = M_U / M_{CE} \quad (1)$$

برای ستون‌ها (رابطه‌های ۲ و ۳):

$$\frac{P_u}{P_{CL}} < 0,2 \Rightarrow m_B = \frac{M_U}{M_{CE}(1 - \frac{P_u}{\tau P_{CL}})} \quad (2)$$

$$0,2 \leq \frac{P_u}{P_{CL}} \leq 0,5 \Rightarrow m_B = \frac{\Delta M_U}{\Delta M_{CE}(1 - \frac{P_u}{P_{CL}})} \quad (3)$$

که در آن‌ها P_{CL} ، P_u و M_{CE} به ترتیب گشتاور خمشی موجود، نیروی محوری موجود، ظرفیت کران پایین نیروی محوری و ظرفیت کران پایین گشتاور خمشی هستند. همچنین اگر شرایط بار محوری غیر از موارد اخیر باشد، یعنی ستون فولادی با نیروی محوری بیش از ۵۰٪ مقاومت فشاری کران پایین باشد، ستون مذکور، ستون کنترل شونده توسط نیرو محاسبه می‌شود که به موجب آن $m_B = 1$ است.

۹. تکرار مراحل اخیر برای سازه‌ی مشابه دیگر، ولی تحت بار دینامیکی شدید متفاوت، می‌توان پارامترهای مختلفی را نیز تغییر داد.

۱۰. معرفی مقادیر m_B برای تیرها و ستون‌ها پس از پردازش داده‌ها و محاسبات آماری و تشریح وابستگی آن‌ها به انواع پارامترها.

لازم به ذکر است که الگوریتم پیشنهادی برای انواع سازه‌ها و انواع سیستم‌های سازه‌بی قابل بررسی و توسعه است و به قاب خمشی فولادی که هدف پژوهش حاضر است، محدود نمی‌شود.

۳. فرضیات و بسط الگوریتم پیشنهادی برای قاب خمشی فولادی

در صورت انتخاب یک قاب چند طبقه، کنترل‌های مربوط به مرحله‌ی ۴ الگوریتم، به آسانی ممکن نخواهد بود؛ چون باید سعی شود تمامی مقاطع به مرز پذیرش غیرخطی برسند که این امر با وجود اندرکش اعضا و تعداد المان‌ها به آسانی

جدول ۲. شناسه‌های مصالح در تحلیل‌های خطی و غیرخطی.

$2E8 kN/m^3$	ضریب ارجاعی
$0/3$	ضریب پواسون
$7,849 kg/m^3$	چگالی
$0/05$	ضریب میزانی
	مدل جانسون کوک
$286142 kN/m^3$	A
$50/0163 kN/m^3$	B
$0/017$	C
$0/228$	N
$0/917$	M
۱	ϵ^*
$1773 K$	T_M
$293 K$	T_R

ترتیب چگالی جرمی و گرمای ویژه هستند. بخش مقاومت تسیم مدل جانسون - کوک شامل ۵ پارامتر A، B، C و M و سه مشخصه مصالح شامل C_p ، ρ و T_M است.

۴. تحلیل قاب‌های نمونه تحت بار دینامیکی شدید

در بخش حاضر، ۱۸ نمونه قاب تحت شرایط بارگذاری مختلف که در بخش قبل ارائه شدند، بررسی شده‌اند، تا ضریب تقاضا m_B بدست آید. این کار لازمه تحلیل‌های غیرخطی و خطی است که مراحل آن شرح داده شد. مدل‌سازی خطی و غیرخطی توسط نرم‌افزار آباقوس،^[۱۱] انجام شده است. طول تیر و ستون قاب به ترتیب ۴ و $3/5$ متر بوده و با ۱۶ و ۱۴ المان قابی از نوع Wire مدل شده‌اند. پای هردو ستون، تکیگاه گیردار درنظر گرفته شده است. پارامتر m_B در رابطه مربوط به تیر، براساس کنترل ظرفیت خمش و در ستون، براساس کنترل ترکیب نیروی محوری فشاری و خمشی حاصل می‌شود. مقاطع فولادی استاندارد IPE و IPB در نرم‌افزار تولید شده است که برای IPE از نمره‌های ۲۴۰ تا ۶۰۰ و برای IPB از نمره‌های ۱۰۰۰ تا ۲۰۰ استفاده شده است که در نتیجه، ۲۸ مقطع تعریف شده است که چیزی‌های مختلف را در بر می‌گیرد. مدت زمان بار دینامیکی برای تمامی نمونه‌ها ۳۰ میلی‌ثانیه در نظر گرفته شده است. بار استاتیکی ۲۸ کیلونیوتون بر متر برای تیر در تمامی نمونه‌ها لحاظ شده است. توزیع جابه‌جایی جانبی در قاب نمونه‌ی اول در تحلیل غیرخطی دینامیکی در شکل ۴ مشاهده می‌شود. مقادیر ۶ حالت بار دینامیکی شدید وارد بار دیوار جلویی، سقف، دیوار پشتی و بار متمرکز دیوار جلویی در شکل‌های ۵ الی ۷ ارائه شده‌اند که البته مدل‌سازی انجام شده مطابق فرضیات بارگذاری، به بار دیوار پشتی نیازی ندارد. برای تبدیل فشار به بار واحد طول، برای بار جانبه ستون‌ها عرض 3° مترو برای تیرها عرض باگر 4° متر لحاظ شده است. مطابق آینینه، بیشینه‌ی جابه‌جایی جانبی 4% ارتفاع سازه و بیشینه‌ی دوران و تری اعضا، ۲ درجه است. دوران و تری یک عضو بر پایه‌ی شکل ۸ محاسبه می‌شود. دوران و تری اعضا و جابه‌جایی جانبی بیشینه‌ی قاب، معیارهای پذیرش هستند. دوران و تری برای هر عضو را می‌توان از جابه‌جایی‌های گرهی المان‌های انتهایی هر عضو به دست آورد. برای ستون، به علت درگیری تکیگاهی انتهایی، دوران و تری انتهای فوقانی آن کنترل‌کننده است. روشن است که مقادیر بیشینه‌ی جابه‌جایی گرهی

جدول ۱. شماره‌ی تحلیل و بارگذاری متناظر آن.

شماره تحلیل	نوع بارگذاری	خراج (kg)	فاصله (m)	Z (ft/lb ³)
۱		۴۰۰	۲۰	۶,۸۴۲۵
۲		۴۰۰	۳۰	۱۰,۲۶۳۸
۳	۱	۸۰۰	۲۰	۵,۴۳۰۹
۴	۱	۸۰۰	۳۰	۸,۱۴۶۴
۵		۱۰۰۰	۲۰	۵,۰۴۱۶
۶		۱۰۰۰	۳۰	۷,۵۶۲۴
۷		۴۰۰	۲۰	۶,۸۴۲۵
۸		۴۰۰	۳۰	۱۰,۲۶۳۸
۹	۲	۸۰۰	۲۰	۵,۴۳۰۹
۱۰	۱۰	۸۰۰	۳۰	۸,۱۴۶۴
۱۱		۱۰۰۰	۲۰	۵,۰۴۱۶
۱۲		۱۰۰۰	۳۰	۷,۵۶۲۴
۱۳		۴۰۰	۲۰	۶,۸۴۲۵
۱۴		۴۰۰	۳۰	۱۰,۲۶۳۸
۱۵	۳	۸۰۰	۲۰	۵,۴۳۰۹
۱۶	۳	۸۰۰	۳۰	۸,۱۴۶۴
۱۷		۱۰۰۰	۲۰	۵,۰۴۱۶
۱۸		۱۰۰۰	۳۰	۷,۵۶۲۴

کارکنان، پوشش کارکنان از قطعات اولیه و ثانویه و سقوط سازه و یا تجهیزات تعریف می‌شود.

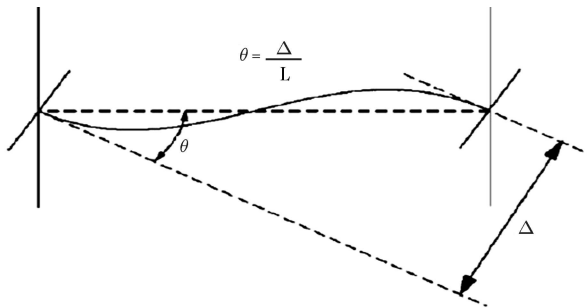
برای تحلیل‌های دینامیکی خطی و غیرخطی از پارامترهای جدول ۲ استفاده می‌شود که در پژوهش حاضر در نرم‌افزار آباقوس وارد شده‌اند. همچنین پارامترهای مدل رفتاری جانسون - کوک با لحاظ نزخ کرنش نیز برای فولاد A36 (قریباً معادل فولاد St37) تعریف شده است.^[۱۱] مدل رفتاری جانسون - کوک قادر است اثر نزخ کرنش را در مدل رفتاری در نظر بگیرد که نقش اساسی در باسخ سازه تحت بارهای سریع مانند دینامیکی شدید دارد. مدل جانسون - کوک پاسخ مهم مصالح را که در پدیده‌های ضربه و نفوذ بر فلزات مشاهده می‌شود، بازتولید می‌کند. سه پاسخ کلیدی مواد، شامل: سخت‌شوندنگی کرنشی، آثار نزخ کرنش و نرم‌شوندنگی حرارتی است. سه اثر ذکر شده در مدل جانسون - کوک ترکیب می‌شوند. مدل جانسون - کوک به صورت رابطه‌ی ۴ نگاشته می‌شود:

$$\sigma_y = [A + B(\varepsilon_{eff}^p)^N](1 - (T_H)^M) \quad (4)$$

که در آن، پارامترهای ε ، T_H و ΔT از روابط ۵ به دست می‌آیند:

$$\begin{aligned} \dot{\varepsilon} &= \frac{\dot{\varepsilon}_{eff}^p}{\dot{\varepsilon}^*}, \\ T_H &= \frac{T - T_R}{T_M - T_R}, \\ \Delta T &= \frac{1}{\rho C_p} \int \sigma d\varepsilon_{eff}^p \end{aligned} \quad (5)$$

ε_{eff}^p کرنش مؤثر خمیری و $\dot{\varepsilon}^*$ نزخ کرنشی هستند که برای تعیین A ، B و N به کار می‌روند. T_H دمای همسان، T_M دمای ذوب و T_R دمای مرجع و ρ و C_p به



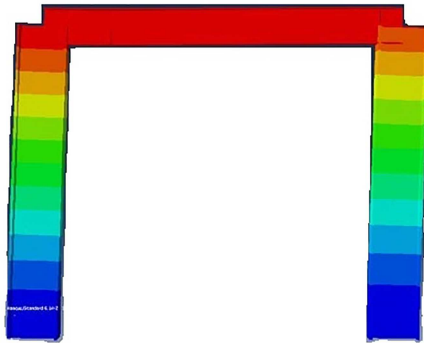
شکل ۸. شیوه‌ی محاسبه‌ی دوران و تری (θ) یک عضو.

برای دوران و تری در تحلیل دینامیکی غیرخطی لزوماً در یک زمان اتفاق نمی‌افتد، بنابراین پاسخ‌ها در زمانی که بیشترین تغییر شکل‌ها وجود دارد، محاسبه شده‌اند. برای جابه‌جایی جانبی بیشینه، مقدار بیشینه‌ی گره‌های فوقانی قاب (گوشه‌های سمت راست و چپ) مدنظر هستند، البته با چشم‌بُوشی از اینکه چه زمانی اتفاق می‌افتد، پس از آنکه مقاطع مختلف، آزمون و خطأ شدند، یعنی با رها تحلیل برای هر نمونه قاب انجام شد، آرایش مقاطعی که نزدیک‌ترین مقادیر دوران و تری و یا جابه‌جایی جانبی را به مقادیر پذیرش به دست دهند، مقاطع نهایی هستند که باید در تحلیل غیرخطی وارد شوند. وقت شود که ممکن است ابعاد مقاطع از نظر مهندسی منطقی نباشند که البته این امر در اینجا اهمیت چندانی ندارد. زیرا به دست آوردن ضریب تقاضا هدف موردنظر است که وابسته به مقادیر و نحوه توزیع نیروها و جابه‌جایی‌ها در اعضاست. در تحلیل دینامیکی خطی از مقاطع نهایی به دست آمده از تحلیل غیرخطی استفاده و سازه تحلیل شده است. پس از پایان تحلیل، برای ستون‌ها، دو مرتبه نیروهای محوری و گشتاور خمی خوانده شده است. ابتدا بیشینه‌ی گشتاور خمی ستون و نیروی محوری که در همان لحظه در ستون ایجاد شده، خوانده شده است. سپس بیشینه‌ی نیروی محوری ستون و گشتاور خمی که در همان لحظه در ستون ایجاد شده، خوانده شده است. برای هر دو حالت، ضریب m_B به دست آورده شد. هر m_B کوچک‌تر بود، مقدار به دست آمده برای آن ستون است. اگر m_B خیلی کوچک باشد، یا به بیان دیگر نیروی محوری بیش از ۵۰٪ ظرفیت محوری ستون باشد، آنگاه ستون، توسط نیروکنترل می‌شود و مقدار $1/m_B$ را به خود می‌گیرد.

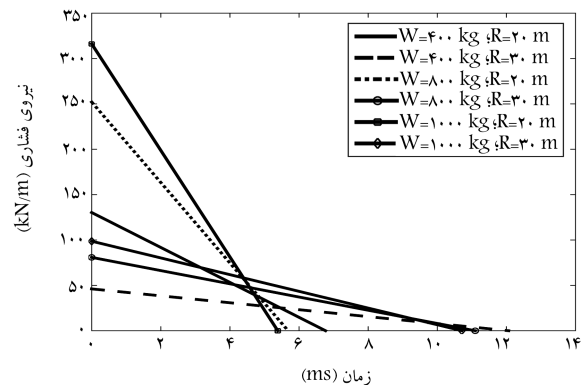
۵. تفسیر نتایج حاصل از تحلیل‌ها و ارائه‌ی ضریب اصلاح ظرفیت

مقادیر محاسبه شده‌ی m_B قاب‌های نمونه و مقدارهای میانگین آنها در جدول‌های ۳ الی ۵ ارائه شده‌اند. همچنین نتایج به صورت نمودار در شکل‌های ۹ الی ۱۱ ترسیم شده‌اند. با توجه به اینکه در پژوهش حاضر، ۶ گونه میزان بار و ۳ وضعیت بارگذاری در نظر گرفته شده است، ۱۸ نمونه قاب تحلیل شدند و ضرایب m_B به دست آمده، پراکنده‌ی آماری نسبتاً کمی داشتند که نشان از کفايت تعداد داده‌هاست. بدیهی است که هر چه مقدار m_B بیشتر باشد، عضو شکل پذیری بیشتری دارد و در نتیجه، عضو مذکور بیشتر وارد ناحیه‌ی غیرخطی می‌شود. با توجه به مقادیر میانگین به دست آمده، مودهای تغییر شکلی قاب‌های پرتال و تعیین آنها به یک قاب خمی چندطبقة، می‌توان از نتایج تحلیل قاب خمی فولادی چندطبقة، این نکات را برداشت کرد:

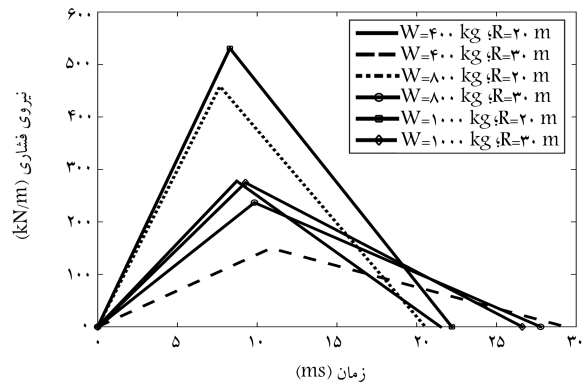
-- برای ۶ نمونه قاب به طوری که بار دینامیکی شدید فقط به صورت قائم بر تیرها وارد شده است (بدون اعمال بار افقی دینامیکی شدید)، میانگین مقادیر m_B



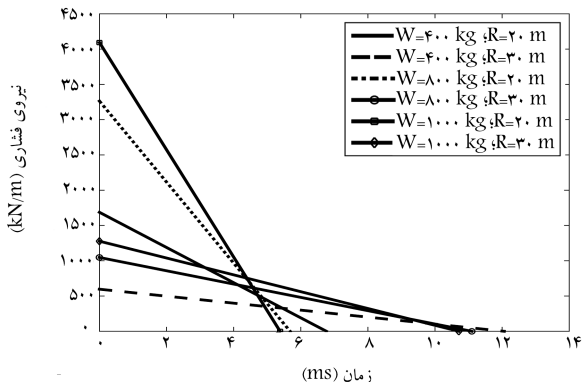
شکل ۴. توزیع جابه‌جایی جانبی در قاب نمونه‌ی اول در تحلیل غیرخطی دینامیکی.



شکل ۵. بار دینامیکی شدید وارد بر دیوار جلویی برای قاب‌های نمونه.



شکل ۶. بار دینامیکی شدید وارد بر سقف برای قاب‌های نمونه.



شکل ۷. بار متکز دینامیکی شدید وارد بر انتهای فوقانی دیوار جلویی برای قاب‌های نمونه.

جدول ۳. مقادیر m_B برای بارگذاری نوع ۱.

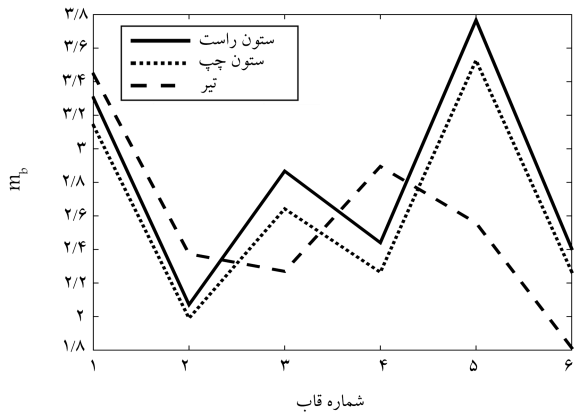
میانگین (m_b)	m_b							عضو
	قاب ۶	قاب ۵	قاب ۴	قاب ۳	قاب ۲	قاب ۱		
۰,۲۹۱۵	۰,۳۷۰۱	۰,۲۳۰۷	۰,۳۳۵۲	۰,۲۵	۰,۳۱۰۱	۰,۲۵۳۱	ستون راست	
۰,۳۲۳۶	۰,۳۷۰۱	۰,۲۳۰۷	۰,۳۴۷۶	۰,۲۵	۰,۵۵۶۸	۰,۲۵۳۰	ستون چپ	
۲,۵۴۷۱	۱,۷۳۲۳	۲,۶۶۰۱	۳,۰۳۴۵	۲,۰۹۴۷	۲,۲۱۸۵	۳,۰۴۱۷	تیر	

جدول ۴. مقادیر m_B برای بارگذاری نوع ۲.

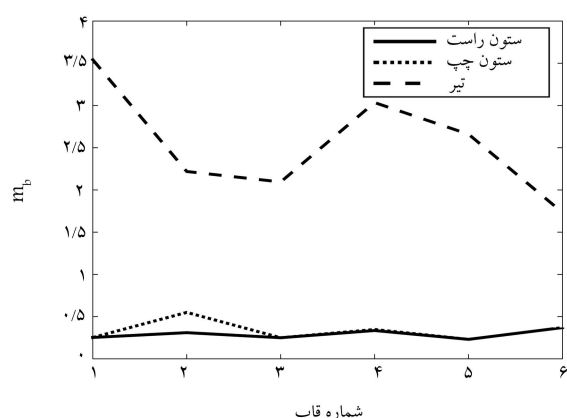
میانگین (m_b)	m_b							عضو
	قاب ۱۲	قاب ۱۱	قاب ۱۰	قاب ۹	قاب ۸	قاب ۷		
۱,۵۵۷۴	۱,۶۵۳۴	۰,۷۹۹۸	۱,۷۷۴۵	۲,۲۹۴۹	۱,۳۲۷۴	۱,۷۳۴۶	ستون راست	
۱,۵۹۷۴	۱,۶۵۳۴	۰,۷۹۹۸	۱,۷۷۴۵	۲,۲۹۴۹	۱,۳۲۷۴	۱,۷۳۴۶	ستون چپ	
۲,۱۴۴۰	۲,۰۷۷۳	۲,۲۴۳۹	۲,۰۶۷۰	۲,۲۵۸۸	۲,۰۸۰۸	۲,۱۳۶۲	تیر	

جدول ۵. مقادیر m_B برای بارگذاری نوع ۳.

میانگین (m_b)	m_b							عضو
	قاب ۱۸	قاب ۱۷	قاب ۱۶	قاب ۱۵	قاب ۱۴	قاب ۱۳		
۲,۸۰۹۰	۲,۴۰۵۱	۳,۷۶۶۴	۲,۴۴۰۳	۲,۸۶۷۱	۲,۰۷۰۸	۳,۰۴۴	ستون راست	
۲,۶۳۸۶	۲,۲۶۷۶	۳,۵۲۷۳	۲,۲۶۴۱	۲,۴۴۲۲	۱,۹۹۰۳	۳,۱۴۰۰	ستون چپ	
۲,۵۵۹۳	۱,۸۱۴۰	۲,۵۵۸۴	۲,۸۹۴۹	۲,۲۸۹۵	۲,۳۷۳۴	۳,۴۴۵۵	تیر	



شکل ۱۱. نمودار m_B محاسبه شده براساس قاب های نمونه تحت بارگذاری نوع ۳.

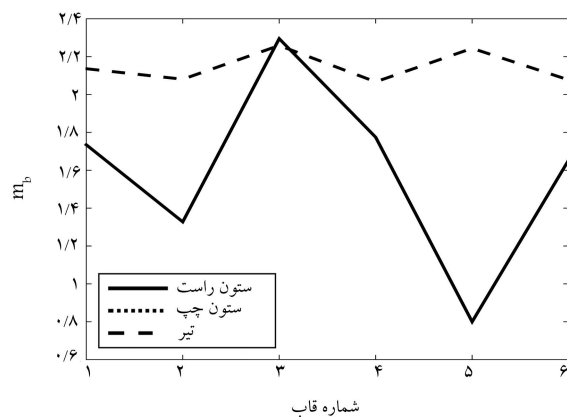


شکل ۹. نمودار m_B محاسبه شده براساس قاب های نمونه تحت بارگذاری نوع ۱.

برای تیرها ۲,۱ و برای ستون ها ۱,۶ به دست آمد. لازم به ذکر است که در خصوص تیرهای بدون بار دینامیکی شدید، به دلیل عدم اعمال بار دینامیکی شدید و رفتار تقریباً خطی تیرها تحت بارهای مرده و زنده، ضریب m_B برابر ۱ در نظر گرفته شد.

-- برای ۶ نمونه قاب به طوری که بار دینامیکی شدید فقط به صورت افقی بر قاب وارد شده است (بدون اعمال بار قائم بار دینامیکی شدید)، میانگین مقادیر m_B برای تیرها ۲,۶، برای ستون های تحت بار دینامیکی شدید ۰,۳۳ و برای ستون های دیگر ۲,۸ به دست آمد.

-- برای ۶ نمونه قاب به طوری که بار دینامیکی شدید هم شامل بار قائم وارد بر تیرها و هم بار افقی وارد بر قاب بوده است، میانگین مقادیر m_B برای تیرهای تحت بار دینامیکی شدید ۰,۵، برای تیرهای بدون بار دینامیکی شدید ۲,۶، برای ستون های تحت بار دینامیکی شدید ۰,۳۳ و برای ستون های بدون بار دینامیکی



شکل ۱۰. نمودار m_B محاسبه شده براساس قاب های نمونه تحت بارگذاری نوع ۲.

$$\frac{P_{UF}}{P_{CL}} + \frac{\lambda}{\eta} \left[\frac{M_x}{m_{Bx} M_{CE_x}} \right] \leq \gamma \quad (\text{A})$$

۱۰

در پژوهش حاضر، الگوریتمی ساده شده برای طراحی قاب خمشی فولادی تحت بار حاصل از موج دینامیکی شدید پیشنهاد شده است. برای این منظور، با پیشنهاد یک مسئله‌ی معکوس، ضرایب تقاضا به دست آمده‌اند. در این فرآیند، ضوابط پذیرش آئین نامه‌ی ۳-۴۰-۰۲ UFC (طراحی سازه‌ها برای مقاومت در برابر انفجارهای تصادفی) در تحلیل‌های غیرخطی اعمال و با استفاده از روابط ASCE ۱۱-۱۳، معیار پذیرش تحلیل خطی وارد شده و ضرایب m_B استخراج شده‌اند. با استفاده از نتایج به دست آمده و بسته به نوع عضو سازه‌یی و موقعیت قرارگیری آن، می‌توان ضرایب m_B را تجویز کرد. همان‌طور که از نتایج بررسی آید، اعضا‌یی که مستقیماً تحت بار ضربه قرار دارند (مانند تیرهای بام و ستون‌های خارجی یک قاب خمشی)، ضرایب m_B کمتری دارند، یعنی نسبت به آنها شکل‌پذیری بالایی قائل شد. این مورد برای ستون‌ها که معمولاً شکل‌پذیری کمتری برای آن‌ها انتظار می‌رود، مشهود‌تر است. به طور کلی می‌توان ضرایب ۲/۵ و ۲/۵ را برای اعضاء شکل‌پذیر قاب فولادی پیشنهاد کرد. همچنین، با توجه به مقادیر متناظر برای بار زلزله در آئین نامه‌ها می‌توان به این نکته رسید که شکل‌پذیری مورد انتظار در طراحی ضربه‌یی، تقاوی قابل ملاحظه‌یی با موارد مربوط به زلزله دارد. با توجه به وضعیت‌های بارگذاری، هندسه‌ی قاب پرتال و مدهای تغییرشکلی، می‌توان ضرایب ذکر شده را برای یک قاب فولادی چمندیقه استفاده کرد که نکات ریزتر آن در بخش قبل به طور گسترده مطرح شد.

الگوریتم پیشنهادی در نوشتار حاضر، برای اولین بار ارائه شده است و قابلیت توسعه به سیستم‌های سازه‌بی دیگر و انواع دیگر سازه‌ها را نیز دارد. مدل سازی غیرخطی سازه با درنظر گرفتن آثار نزخ کرنش و غیرخطی هندسی صورت گرفته است که با استفاده از آن، تحلیل‌های دینامیکی غیرخطی که مشکلاتی از قبیل همگرایی، تحلیل زمان‌بر، حساسیت بالا به نحوه مدل سازی وقت‌گیر بودن بررسی معیارهای پذیرش را دارند، به تحلیل‌های دینامیکی خطی تبدیل می‌شود؛ که علاوه بر نداشتن ایرادهای یاد شده، منجر به پاسخ‌هایی خواهد شد که نیاز به انجام تحلیل غیرخطی را رفع می‌کنند. در نتیجه انتظار می‌رود که با برآورده شدن معیارهای پذیرش تحلیل خطی، معیارهای پذیرش غیرخطی نیز به تبع آن برآورده شوند. همچنین روش ذکر شده کمک تا تحلیل با نرم‌افزارهای مدل سازی ماکروی متداول، مانند: SAP^{۲۰۰۰} و ETABS تحلیل المان محدود پیشرفته، مانند ANSYS، ABAQUS و OpenSEES [۱۳] که آثار نزخ کرنش را با مدل سازی حالت خمیری گستردۀ لحاظ می‌کنند، نمایش نمایش نمایند. گفتنی است که نتایج حاصل از پژوهش حاضر، مربوط به بار دینامیکی با فاصله‌ی نسبتاً دور است و برای طراحی در مقابل بار دینامیکی نزدیک قابل استفاده نیست.

شید ۴۹ به دست آمد. لازم به ذکر است که به دلیل این که اعضاء با m_B کوچک تر از ۱، کترل شونده توسط نیرو محاسبه می‌شوند، کمینه‌ی مقدار m_B بعینی مقدار ۱ برای ستون‌های مذکور در نظر گرفته شد.

براساس نتایج پیشین، برای کاربری آسان و با نگاه محافظه‌کارانه، مقادیر m_B به این شرح چهت طراحی اعضاء قاب خمشی فولادی تحت بارگذاری دینامیکی شدید پیشنهاد شده‌اند:

-- برای تیرها (بام و سایر طبقات) در حالت های بارگذاری دینامیکی شدید، شامل فقط بار افقی وارد بر قاب» و «بار قائم وارد بر تیرها و بار افقی وارد بر قاب، به صورت توانم»، برابر ۲/۵ و در حالت بارگذاری دینامیکی شدیدی «فقط بار قائم وارد بر تیرها» برابر ۰/۱

-- برای ستون‌ها (ستون‌های خارجی و داخلی) در حالت بارگذاری دینامیکی شدیدی «بار قائم وارد بر تیرها و بار افقی وارد بر قاب، به صورت توان»، برابر ۱.

-- برای ستون‌ها (ستون‌های خارجی و داخلی)، به شرط آنکه کنترل‌شونده توسط نیرو نیاشد (نسبت نیروی محوری موجود به ظرفیت نیروی محوری کران پایین کمتر از ۵٪ باشد)، در حالت بارگذاری دینامیکی شدیدی « فقط بارافتدی وارد بر قاب »، برابر ۲/۶ و در حالت بارگذاری دینامیکی شدید « فقط بار قائم وارد بر تیرها »، برابر ۱/۶.

با مقایسه مقدار m_B به دست آمده برای تیرها برای هر یک از سه حالت بارگذاری دینامیکی شدید (فقط بار قائم تیر، فقط بار افقی، هر دو بار توازن) با مقدار

که این ضریب برای حالت فقط بار افقی دینامیکی شدید به m مربوط به بار زلزله‌ی نزدیک‌تر و برای حالت فقط بار قائم دینامیکی شدید از m مربوط به بار زلزله‌ی دورتر است. علت این امر شباهت نموده‌ی توزیع بار و مود تغییرشکل تیر تحت حالت فقط بار افقی دینامیکی شدید و اختلاف زیاد عوامل مطرح شده تحت حالت فقط بار قائم دینامیکی شدید، نسبت به بار استاتیکی معادل زلزله است. با توجه به مقادیر پیشنهادی می‌توان فقط با تحلیل خطی دینامیکی و استفاده از مقادیر پیشنهادی mb ، طراحی دینامیکی شدید مناسبی برای قاب خمی فولادی با استفاده از معیارهای پذیرش خطی پیشنهادی انجام داد. معیارهای پذیرش خطی پیشنهادی همان معادله‌های ۱ الی ۳ هستند؛ با این تفاوت که برای بررسی معیارهای پذیرش اکنون، mb معلوم است و در نتیجه فقط تقاضا و ظرفیت برای برقراری نامساوی‌های ادائه شده مقاسه م شوند.

سی رہا (اباطھ، ۴)

$$m_B \kappa Q_{CE} \geq Q_{UD} \quad (9)$$

برای ستون‌ها (رابطه‌های ۷ و ۸):

$$\frac{P_{UF}}{P_{CL}} < \circ / \nabla; \quad \frac{P_{UF}}{\nabla P_{CL}} + \frac{M_x}{m_{Bx} M_{CE_x}} \leq \backslash \quad (\nabla)$$

منابع (References)

- ASCE, "Seismic evaluation and retrofit of existing buildings: ASCE 41-13", American Society of Civil Engineers

3. DoD, "Structures to resist the effects of accidental explosions: UFC 3-340-02", Department of Defense, Unified Facilities Criteria 3-340-02, Washington, D.C. (2014).
4. Elsanadedy, H.M., Almusallam, T.H., Alharbi, Y.R. and et al. "Progressive collapse potential of a typical steel building due to blast attacks", *Journal of Constructional Steel Research*, **101**, pp. 143-157 (2014).
5. Krauthammer, T. "Blast-resistant structural concrete and steel connections", *International Journal of Impact Engineering*, **22**(9-10), pp. 887-910 (1999).
6. Luccioni, B.M., Ambrosini, R.D. and Danesi, R.F. "Analysis of building collapse under blast loads", *Engineering Structures*, **26**(1), pp. 63-71 (2004).
7. Nassr, A.A., Razaqpur, A.G., Tait, M.J. and et al. "Strength and stability of steel beam columns under blast load", *International Journal of Impact Engineering*, **55**, pp. 34-48 (2013).
8. Sabuwala, T., Linzell, D. and Krauthammer, T. "Finite element analysis of steel beam to column connections subjected to blast loads", *International Journal of Impact Engineering*, **31**(7), pp. 861-876 (2005).
9. Smith, P.D. and Hetherington, J.G. "Blast and ballistic loading of structures", Butterworth-Heinemann (1994).
10. Zhou, X.Q., Kuznetsov, V.A., Hao, H. and et al. "Numerical prediction of concrete slab response to blast loading", *International Journal of Impact Engineering*, **35**(10), pp. 1186-1200 (2008).
11. Schwer, L. "Optional Strain-rate forms for the Johnson Cook Constitutive Model and the Role of the parameter Epsilon", 0. LS-DYNA Anwenderforum, Frankenthal (2007).
12. Karlsson, Sorensen, H. "ABAQUS/standard user's manual hibbit", Karlsson & Sorensen (2001).
13. Bagheri, S. and Tayyari, F. "Evaluation of response modification factor and deflection amplification factor of steel intermediate moment-resisting frames", *Sharif Journal of Civil Engineering*, **33**(2), pp. 119-128 (In Persian) (2017)